Dernière mise à jour	TD	Denis DEFAUCHY
05/12/2015	Théorie de Hertz	TD2

# Solides déformables en surface Théorie de Hertz

# TD2

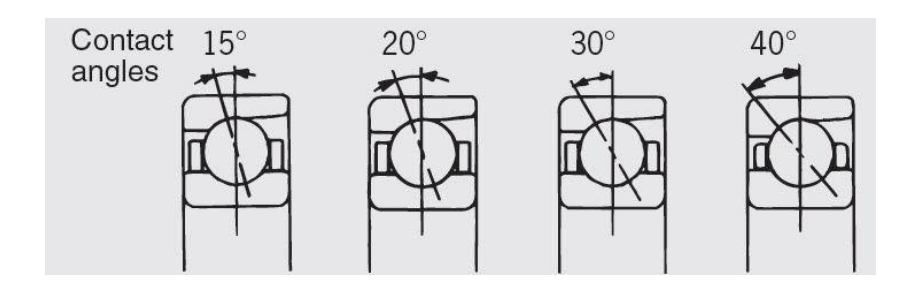
Mise en place d'un modèle de comportement global d'un roulement et étude d'un montage sur deux roulements

	Programme - Compétences		
		Associer le modèle du solide déformable localement en surface au	
B213	B213 MODELISER	comportement de solides en contact ;	
DZ13	MODELISEK	Utiliser le modèle de Hertz (fourni) pour déterminer les déplacements et	
		les pressions dans les contacts linéiques ou ponctuels ;	

Dernière mise à jour	TD	Denis DEFAUCHY
05/12/2015	Théorie de Hertz	TD2

#### Exercice 1: Raideur d'un roulement

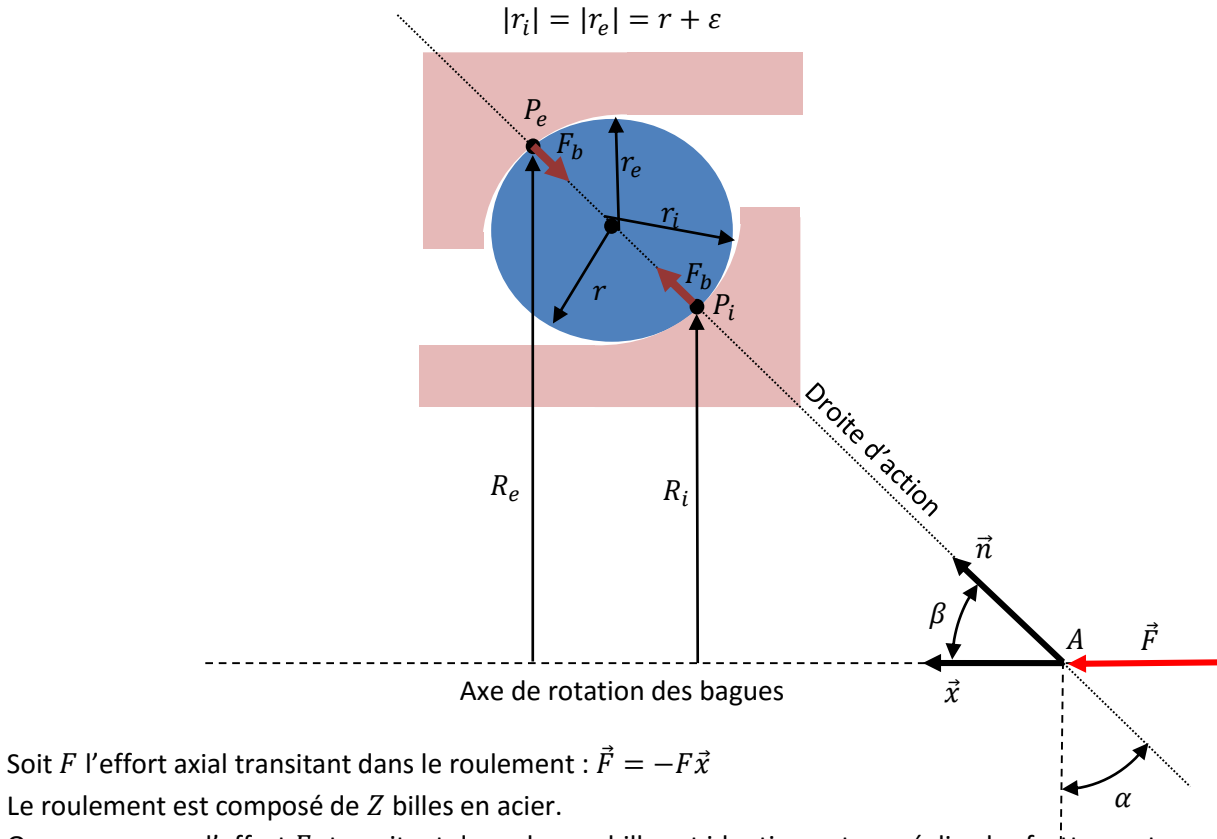
Soit un roulement à billes à contact radial utilisé pour les montages en O ou X pour lesquels une précontrainte est appliquée. Nous souhaitons donc déterminer la relation entre l'écrasement imposé par la présence de cales et l'effort transitant dans le roulement.



#### On appelle:

- $\beta$  l'angle de contact du roulement étudié
- r le rayon (de courbure algébrique) des billes
- $r_i$  et  $r_e$  les rayons respectifs des bagues intérieures et extérieurs aux contacts avec les billes dans le plan de coupe proposé sur l'image ci-dessous, légèrement supérieurs au rayon des billes
- $R_i$  et  $R_e$  les rayons des cercles de contacts entre les billes et les bagues intérieures et extérieures

On suppose que les portées des bagues intérieures et extérieures ont un rayon identique et très proche de celui des billes :



On suppose que l'effort  $F_b$  transitant dans chaque bille est identique et on néglige les frottements aux différents contacts.

Dernière mise à jour	TD	Denis DEFAUCHY
05/12/2015	Théorie de Hertz	TD2

### Etude théorique

Question 1: Donner la relation entre  $\alpha$  et  $\beta$ 

Question 2: Donner l'expression de r en fonction de  $R_i$ ,  $R_e$  et  $oldsymbol{eta}$ 

Question 3: Exprimer la composante axiale  $F_{\chi}$  de l'effort transitant dans chaque bille en fonction de F et Z

Question 4: En déduire l'expression de l'effort normal  $F_b$  au contact de chaque bille avec chaque portée en fonction de F, Z et  $\beta$ 

Question 5: Déterminer l'expression des rayons de courbure principaux  $R_i^1$ ,  $R_i^{1\prime}$ ,  $R_i^2$ ,  $R_i^{2\prime}$  au niveau du contact en  $P_1$  de la bille (1 & 1') et de la bague intérieure (2 & 2') en fonction de r,  $r_i$ ,  $R_i$  et  $\beta$ 

Question 6: Déterminer l'expression des rayons de courbure principaux  $R_e^1$ ,  $R_e^{1'}$ ,  $R_e^2$ ,  $R_e^{2'}$  au niveau du contact en  $P_2$  de la bille (1 & 1') et de la bague extérieure (2 & 2') en fonction de r,  $r_e$ ,  $R_e$  et  $\beta$ 

Dans la suite, les variables  $\mathcal{C}$  correspondent à des courbures,  $r^h$ ,  $m^h$  sont les coefficients relatifs au contacts ponctuels de surfaces quelconque de la théorie de Hertz, les coefficients k sont les coefficients matériaux de la théorie de Hertz.

Question 7: Donner l'expression du rapprochement  $\delta_b^i$  de chaque bille par rapport à la bague intérieure au niveau du contact intérieur dans la direction  $\vec{n}$  en fonction de  $r_i^h$ ,  $m_i^h$ ,  $C_i^1$ ,  $C_i^1$ ,  $C_i^2$ ,  $C_i^2$ ,  $k_i^1$ ,  $k_i^2$  et  $F_b$ 

Question 8: Donner l'expression du rapprochement  $\delta_b^e$  de chaque bille par rapport à la bague extérieure au niveau du contact extérieur dans la direction  $\vec{n}$  en fonction de  $r_e^h$ ,  $m_e^h$ ,  $C_e^1$ ,  $C_e^1$ ,  $C_e^2$ ,  $C_e^2$ ,  $k_e^1$ ,  $k_e^2$  et  $F_b$ 

Question 9: En déduire l'expression du rapprochement total entre bague intérieure et extérieure  $\delta_b$ 

Question 10: En déduire l'expression l'écrasement  $\delta$  du roulement dans la direction de l'axe  $\vec{x}$ 

Question 11: Montrer que la relation entre  $\delta$  et F est du type  $F=k\delta^{\frac{3}{2}}$  et donner l'expression littérale de k

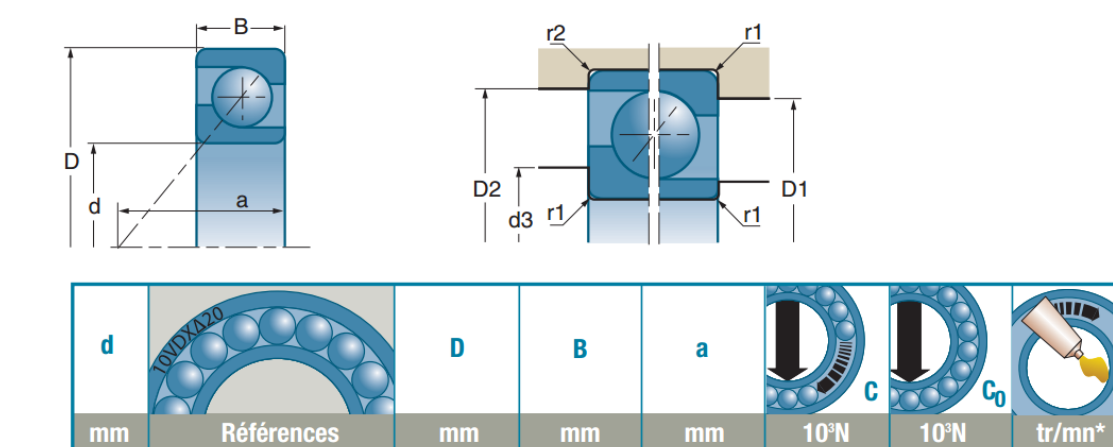
Dernière mise à jour	TD	Denis DEFAUCHY
05/12/2015	Théorie de Hertz	TD2

#### Choix d'un roulement

On choisir un roulement dans un catalogue SNR afin de réaliser un guidage en rotation à l'aide d'un montage en X pour un arbre de diamètre 15 mm et un alésage de 35 mm :

#### **Suffixes**

Α	Conception interne optimisée avec cage polyamide
В	Angle de contact de 40°
BG	Angle de contact de 40° et appariement universel non préchargé
M	Cage en laiton usiné centrée sur les billes



11

800000 O	d3 min	D1 max	D2 max	r1 max	r2 max	
Références	mm	mm	mm	mm	mm	kg
7202 BA	19	31	32,0	0,6	0,3	0,045

16,0

8,0

4,4

16000

22000

Nous n'avons pas accès aux dimensions dont nous avons besoin, nous allons donc prendre des valeurs approchées. Pour cela, on suppose que

- l'épaisseur verticale *e* des deux bagues le long de l'axe vertical passant par le centre des billes vaut 3 mm
- Le centre des billes est au centre de la coupe Bagues-Billes

35

- L'écart arepsilon tel que  $r_i=r_e=r+arepsilon$  vaut 0,1 mm
- 7 = 16

15

7202 BA

- Billes et bagues sont en acier : E=200~GPa ;  $\nu=0.3$ 

Dernière mise à jour	TD	Denis DEFAUCHY
05/12/2015	Théorie de Hertz	TD2

Question 12: Donner la valeur des angles  $\alpha$  et  $\beta$ 

Question 13: Déterminer le rayon des billes  $m{r}$ 

Question 14: Déterminer les rayons des cercles de contact des billes avec les portées  $R_i$  et  $R_e$ 

Question 15: Déterminer la valeur numérique des rayons de courbure  $R_i^1$ ,  $R_i^{1\prime}$ ,  $R_i^2$ ,  $R_i^{2\prime}$ ,  $R_e^1$ ,  $R_e^1$ ,  $R_e^2$  et  $R_e^2$ 

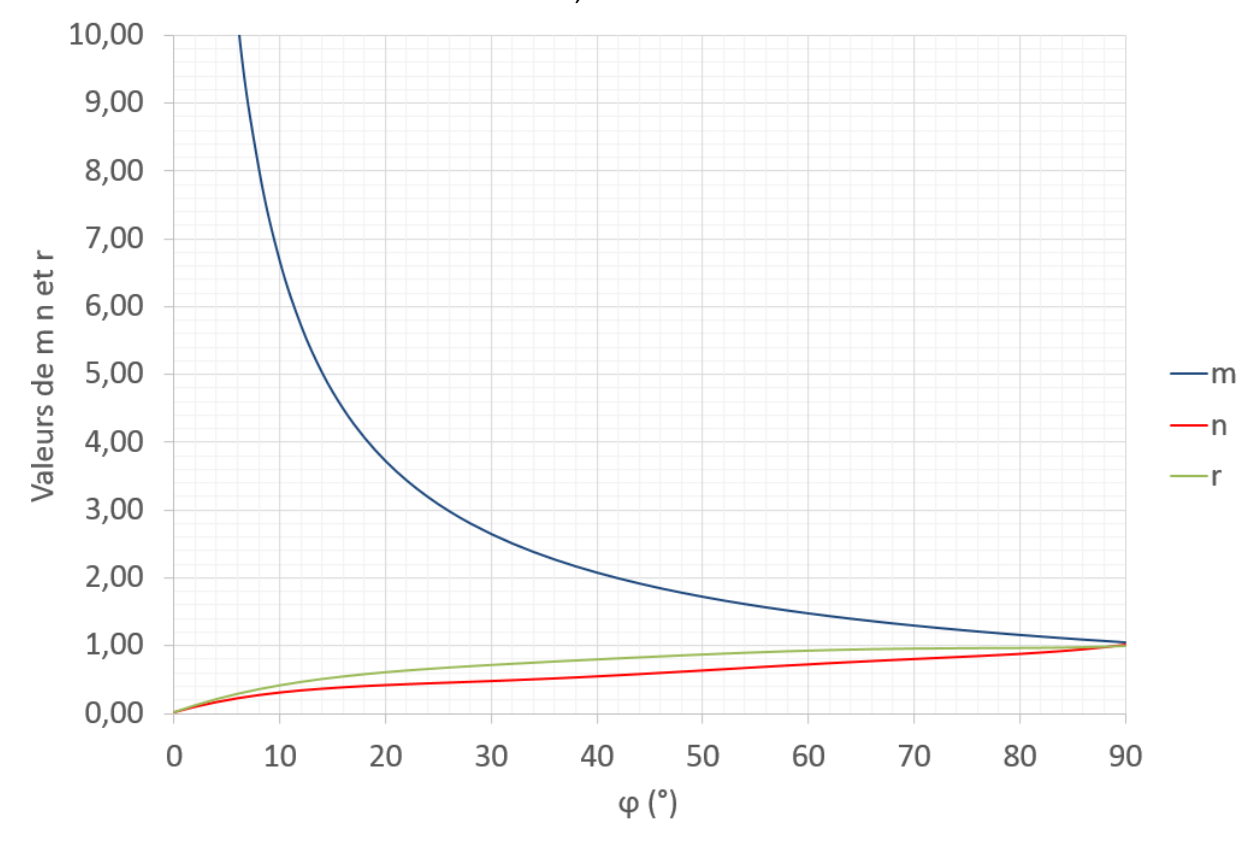
Question 16: En déduire les courbures  $C_i^1$ ,  $C_i^1$ ,  $C_i^2$ ,  $C_i^2$ ,  $C_e^1$ ,  $C_e^1$ ,  $C_e^2$  et  $C_e^{2\prime}$ 

Question 17: Que peut-on dire des angles  $\theta_i$  et  $\theta_e$  correspondant à l'écart angulaire entre les plans contenant respectivement soit les courbures minimales, soit les courbures maximales de chaque pièce en contact

Question 18: En déduire les angles  $arphi_i$  et  $arphi_e$  nécessaire aux calculs de la théorie de Hertz

Question 19: Déterminer la valeur des coefficients  $k_i^1$ ,  $k_i^2$ ,  $k_e^1$  et  $k_e^2$ 

On donne la courbe donnant les valeurs de m, n et r ci-dessous.



Courbe recréée à partir d'une lecture graphique visuelle et interpolations (peut être imprécise)

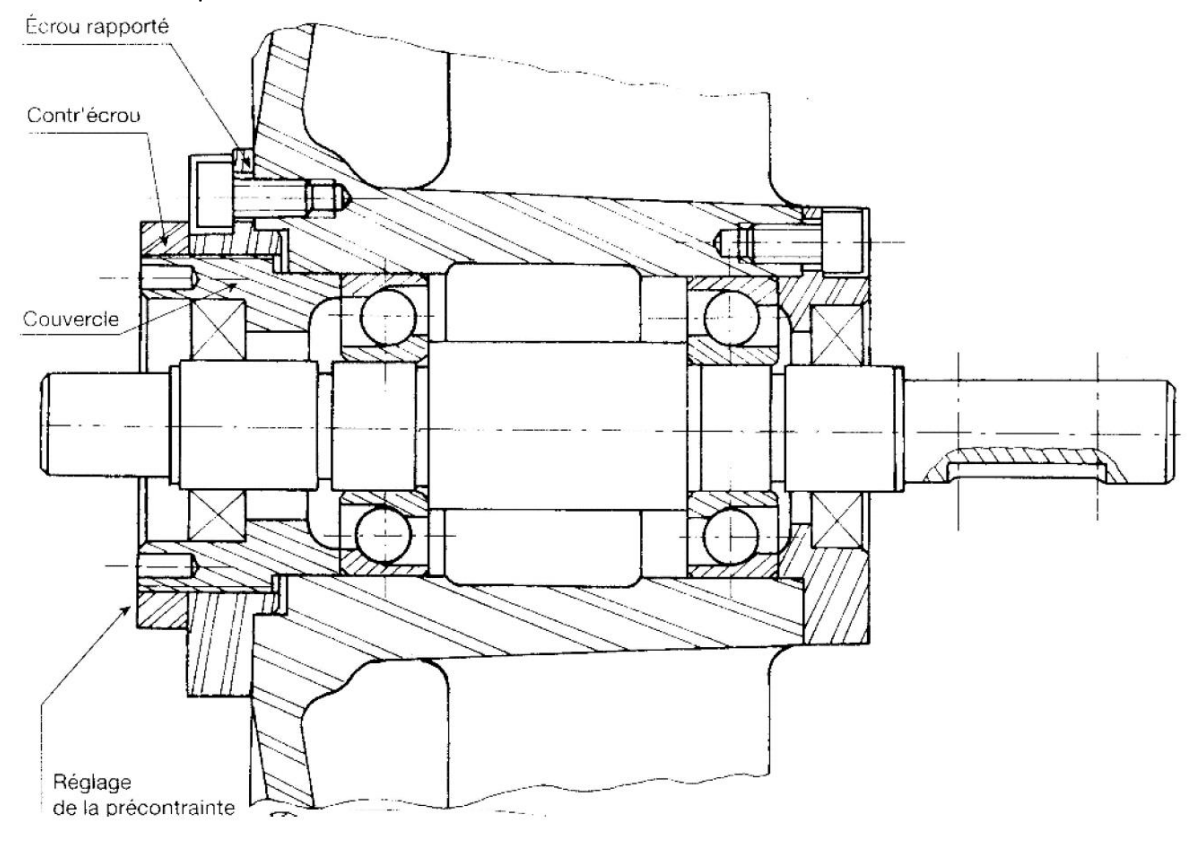
Question 20: Déterminer les coefficients  $m_i^h$ ,  $n_i^h$ ,  $r_i^h$ ,  $m_e^h$ ,  $n_e^h$  et  $r_e^h$ 

Question 21: Déterminer la valeur numérique de la raideur  ${m k}$  du roulement

Dernière mise à jour	TD	Denis DEFAUCHY
05/12/2015	Théorie de Hertz	TD2

## Application montage en X

On s'intéresse à un montage en X réalisé par deux roulements identiques dont les caractéristiques sont celles de l'étude que nous venons de mener.



Nous souhaitons que le montage ci-dessus présente un jeu négatif ou nul jusqu'à une force axiale sur l'arbre F de :

$$F = 10000 N$$

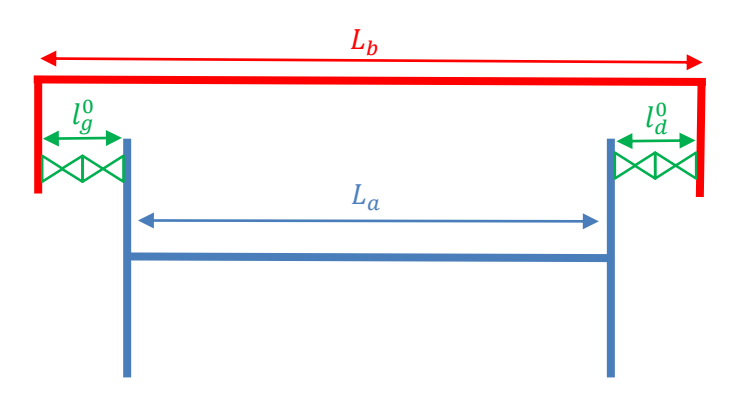
Pour cela, le couvercle est tourné jusqu'à ce qu'il vienne en contact avec la bague extérieure du roulement de gauche puis on règle la précontrainte à en continuant la rotation du couvercle en liaison hélicoïdale avec le bâti en imposant une rotation  $\Psi$  prédéterminée induisant un écrasement initial du montage  $E_i$ .

On donne le pas de la liaison hélicoïdale concernée :  $p=0.2 \ mm$ 

On rappelle que chaque roulement se comporte comme un ressort particulier où :  $F=k\delta^{\frac{3}{2}}$ 

Dernière mise à jour	TD	Denis DEFAUCHY
05/12/2015	Théorie de Hertz	TD2

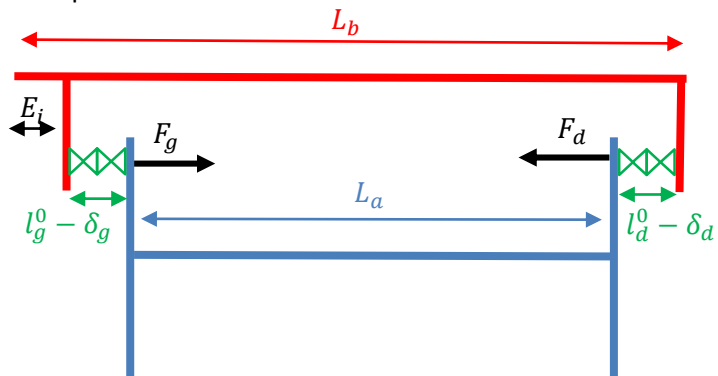
On propose le modèle suivant pour le montage de l'arbre non précontraint (ressorts à vide) :



Question 22: Etablir la relation liant  $L_b$ ,  $l_g^0$ ,  $L_a$  et  $l_d^0$ 

Supposons que l'on impose un écrasement  $E_i$  quelconque au montage.

Le modèle suivant permet de représenter cet écrasement :



Question 23: Etablir la nouvelle relation liant  $L_b$ ,  $l_g^0$ ,  $L_a$  et  $l_d^0$  et en déduire la relation liant  $\delta_g$ ,  $\delta_d$  et  $E_i$ 

Question 24: En appliquant le PFS à l'arbre axialement en résultante, montrer que  $\delta_g=\delta_d=\delta_i$ 

Question 25: En déduire la valeur de l'écrasement initial de chaque roulement  $\delta_i$  en fonction de  $E_i$ 

Lorsque l'on applique un effort croissant sur l'arbre, l'un des roulements reprend de plus en plus de charge et celle de l'autre diminue. Le jeu apparaît lorsque celle qui diminue tombe à zéro, il y a alors décollement de l'un des roulements. On a alors l'intégralité de l'effort appliqué à l'arbre qui transite dans le roulement chargé.

Question 26: Compte tenu de l'écrasement initial des deux roulements  $\delta_i$  et du déplacement imposé pour décharger complètement l'un d'eux  $\delta_F$ , déterminer l'écrasement  $E_F$  du roulement au moment où il reprend entièrement l'effort F Question 27: En déduire expression littérale et valeur numérique de l'écrasement  $E_i$  à imposer au montage pour respecter le cahier des charges

Dernière mise à jour	TD	Denis DEFAUCHY
05/12/2015	Théorie de Hertz	TD2

Question 28: En déduire la valeur de l'angle  $\Psi$  permettant de respecter le critère de résistance axiale du montage

Question 29: Déterminer la valeur de l'effort de précontrainte de chaque roulement lorsque l'arbre est préchargé

Question 30: Préciser le couple devant être appliqué pour le réglage et le rôle du contrécrou